

cYmedics™

Agopuntura - Risultati diagnostici e terapeutici incredibili

- Il sistema cymedics YAOTEQTM è nato dopo 30 anni di ricerca scientifica
- Cymedics YAOTEQTM la biocibernetica al servizio delle antiche regole dell'Autentica Medicina Tradizionale Cinese per un perfetto equilibrio energetico nel corpo umano



- Il sistema cymedics yaoteq integra l'esperienza di 30 anni di informazioni di agopuntura.
- Il sistema cymedics yaoteq è l'integrazione perfetta tra l'intelligenza artificiale e le regole dell'Autentica Medicina Tradizionale Cinese per la diagnosi e la terapia sfruttando i più sofisticati algoritmi di logica quantistica



- Il database utilizzato per lo sviluppo del sistema è strettamente collegato alle conoscenze storiche Taoiste ed è stato elaborato e realizzato in Italia sotto la supervisione di due grandi Maestri contemporanei di MTC.
- Il dispositivo è in grado di misurare l'attività energetica nel corpo umano e di valutare la giusta quantità di energia da inviare negli organi per ristabilirne l'equilibrio del sistema biologico.



- E' il risultato perfetto sulla ricerca dei sistemi medicali energetici controllati dalla tecnologia computerizzata BESRAC.
- Lo strumento usa inoltre la tecnologia avanzata della FFT Discreta (Fast Fourier Transformation) abbinandola alla nuova tecnologia di Intelligenza Artificiale.



cymedics yaoteq



- B Bio
- E Electric
- S Signal
- R Recognition
- A Automatic
- C Control



- Il sistema è in grado di valutare il bilancio energetico degli organi e di eventuali correlazioni a situazioni patologiche .
- Una volta individuata l'origine dello squilibrio energetico il sistema definirà in modo autonomo, attraverso l'IA i criteri di recupero dell'equilibrio energetico.
- Sofisticati algoritmi che lavorano in tempo reale saranno in grado di ristabilire un miglior equilibrio del sistema.



cymedics yaoteq vs agopuntura standard



Vantaggi per l'agopuntore:

- Valutazione automatica della relazione tra i vari organi
- Grafico dei 5 movimenti
- Precisa diagnosi del paziente senza la necessità di valutazione dei polsi e della lingua
- Nessun rischio di ematomi e di infezioni
- Possibilità di trattare pazienti con fobia agli aghi
- Possibilità di trattare pazienti pediatrici
- Possibilità di far eseguire il trattamento a personale paramedico (sotto supervisione)
- Ripetibilità scientifica dei fenomeni energetici, che sono sempre stati considerati come aleatori (accidentali) e non qualificabili
- Risparmio di tempo



Vantaggio per il paziente:

- Veloce scomparsa dei sintomi
- Totale comfort durante la diagnosi e la terapia
- Meno punti da trattare (solo 3 -5 punti)
- Nessun danno ai tessuti
- Nessuna paura degli aghi
- Risparmio di tempo



Principi metodologici

- Acquisizione dei potenziali chimico-fisici degli ago punti come in MTC.
- Algoritmi in tempo reale per ricostruire la diagnosi secondo la MTC sulla base di informazioni riguardanti: l'energia, il sangue, lo yin, lo yang, il jing, lo shen, la yuan qi, l'equilibrio organo e visceri, eventi cosmopatogenetici che influenzano l'attività del corpo ed il livello di entropia.



Informazioni sulla metodologia



- Diagnosi automatica con suggerimento di terapia per agopunti sbilanciati.
- Riorganizzazione elettro-chimica in real time dei normali flussi energetici nei meridiani e nei punti di agopuntura.
- Veloce sollievo dal dolore agendo sui punti terapeutici correlati al dolore.



Cymedics Yaoteq è in grado di valutare le seguenti condizioni:



- Relazione Yin / Yang
- Relazione Qi / Xue
- Relazione Sangue/ Fluidi
- Yuan Qi / Jing Qi / Shen Qi
- Relazione dei 5 Movimenti
- Blocco dei meridiani



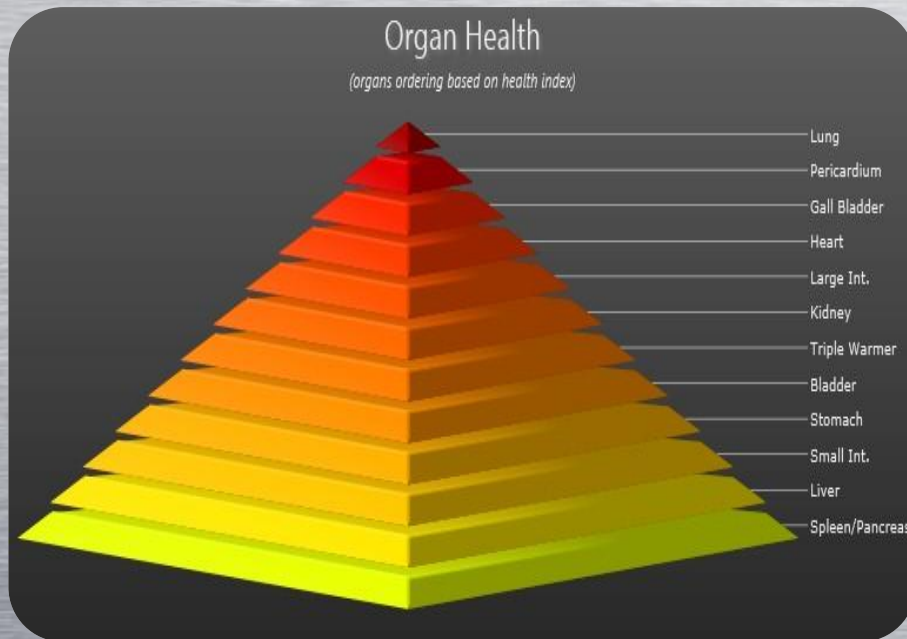
Gli algoritmi biocibernetici e l'intelligenza artificiale di Cymedics Yaoteq hanno i seguenti target:



- Agopunti sui meridiani
- Agopunti extra-meridiano
- Aree del dolore
- In pochi istanti, grazie ad un sofisticato sistema per l'analisi in tempo reale (IA) della risposta alla stimolazione dei tessuti, il sistema è in grado anche di risolvere gli eventi dolorosi a carattere locale (muscoli, tendini, ossa, neurologico, ecc.)

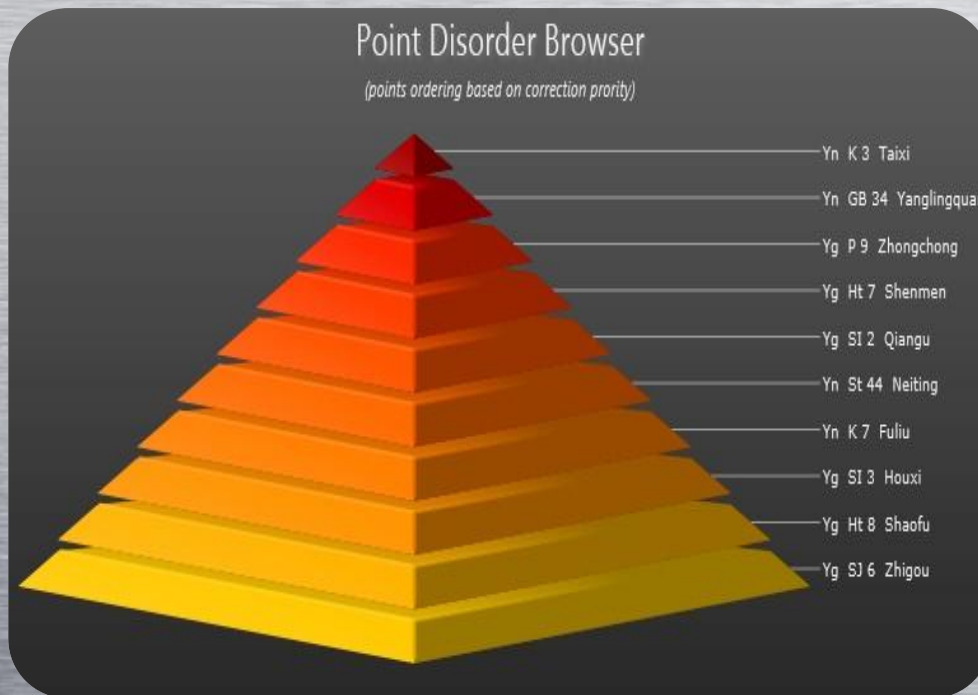


Salute degli Organi



- Indice di salute degli Organi basato sull'organizzazione dell'energia.
- In cima alla piramide l'Organo o il Viscere più squilibrato.
- Alla base l'Organo o il Viscere più equilibrato.

Indice di squilibrio degli agopunti



- Ricostruzione intelligente dell'agopunto basato sulla variazione di potenziale.

Indicatore di Equilibrio del Sistema

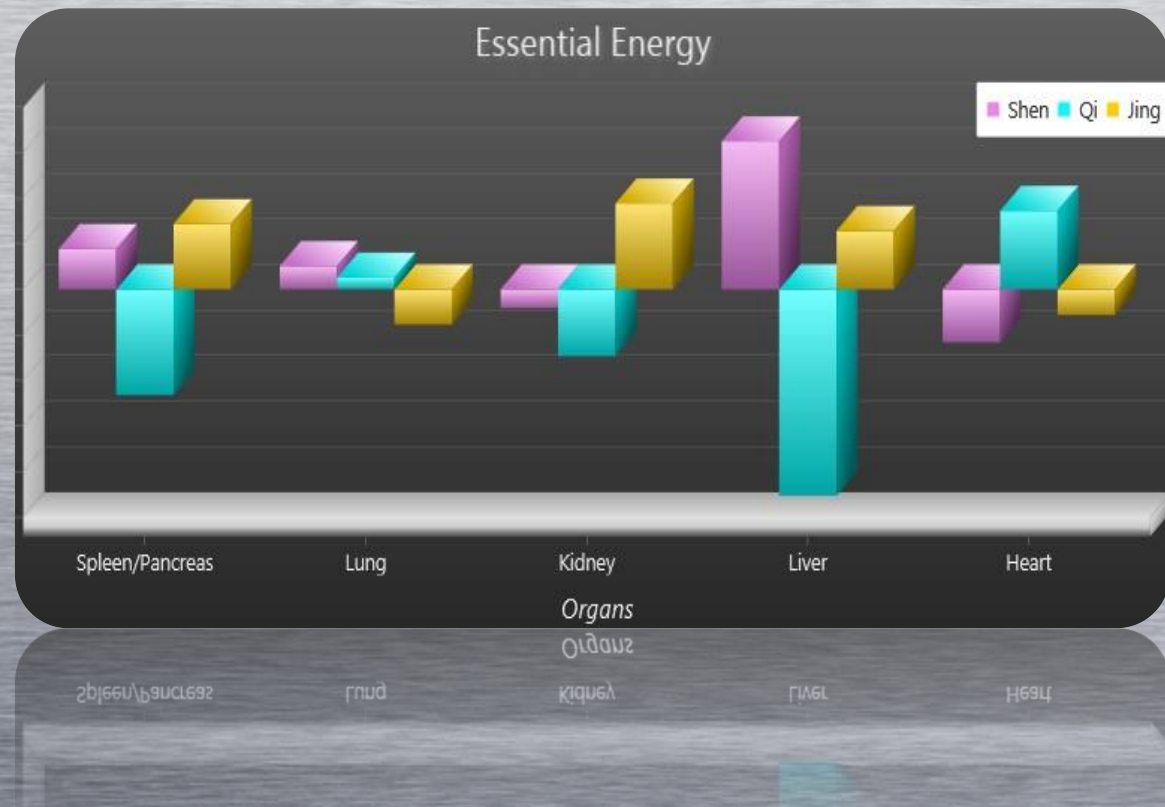


- Semplice indicatore del livello di entropia basato sulla distribuzione dei livelli energetici degli ago punti nel sistema.



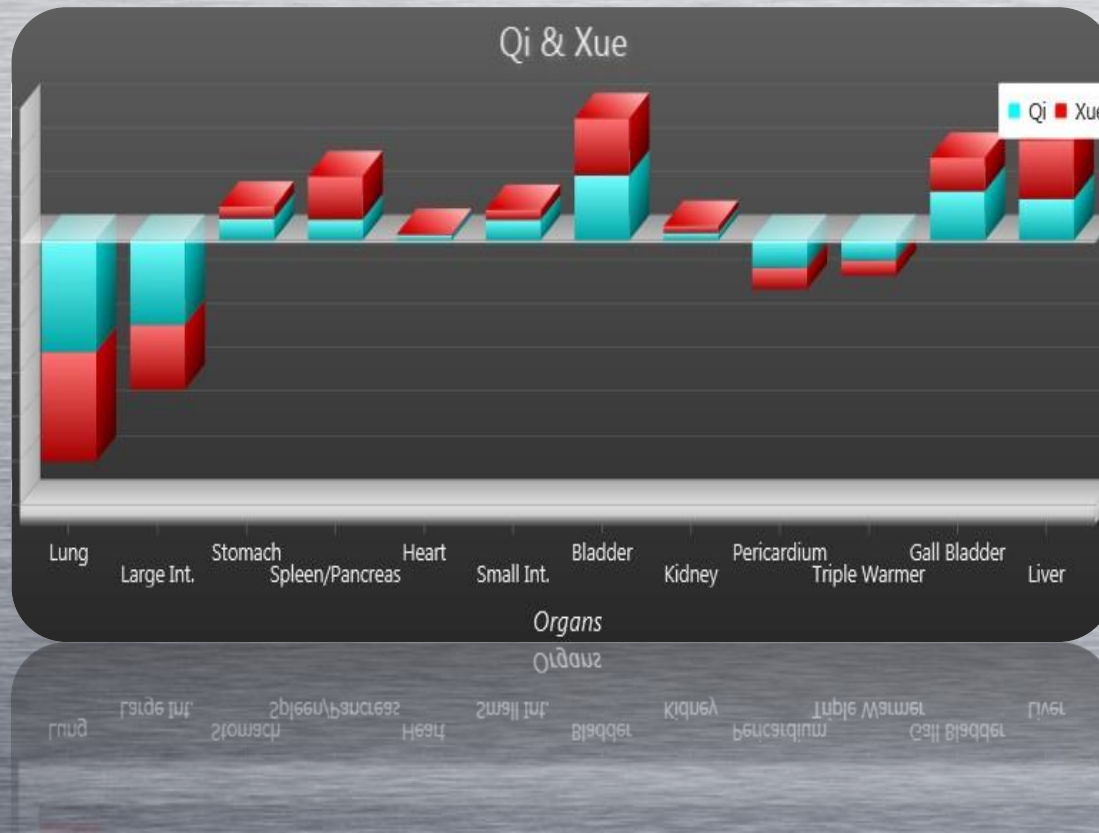
Energia Essenziale

- Relazione tra i tre livelli energetici nei 5 organi:
 - Jing
 - Qi
 - Shen



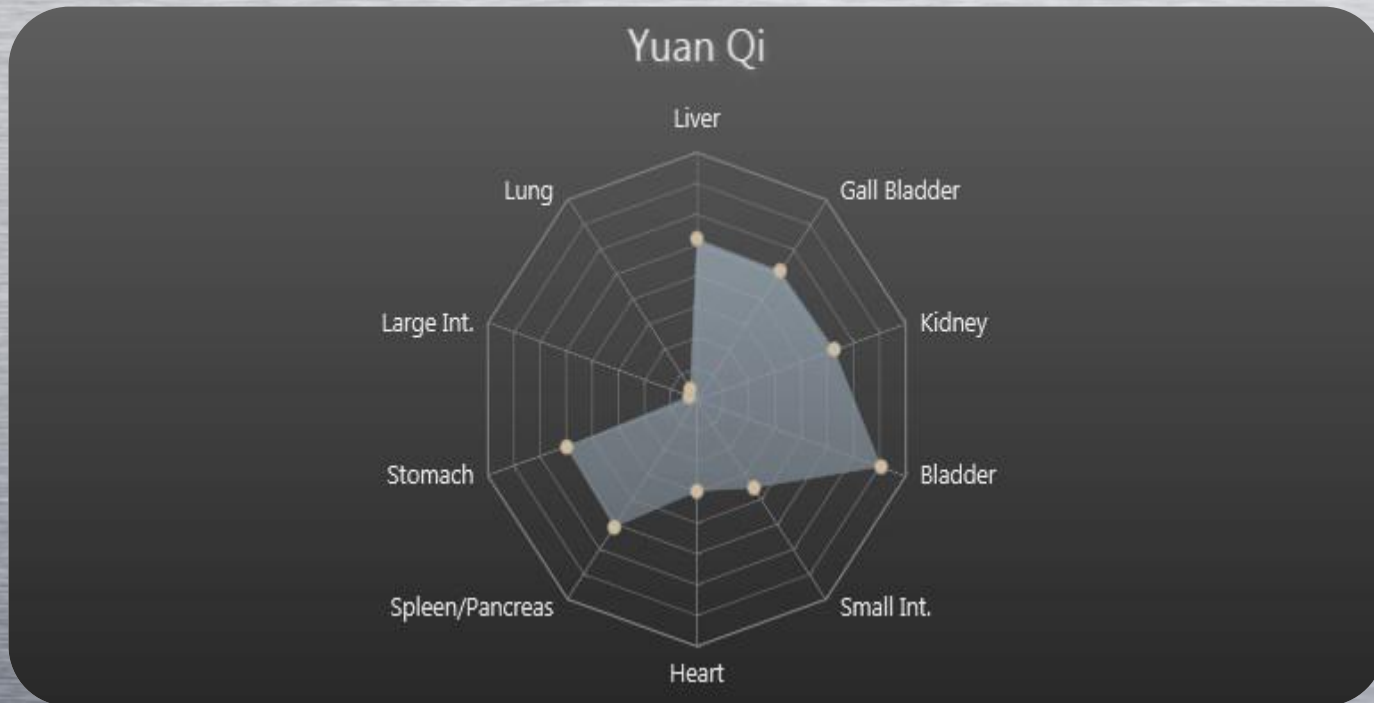
Qi & Xue

- Relazione dualistica negli organi/visceri dei livelli di:
 - Energia (Qi)
 - Sangue



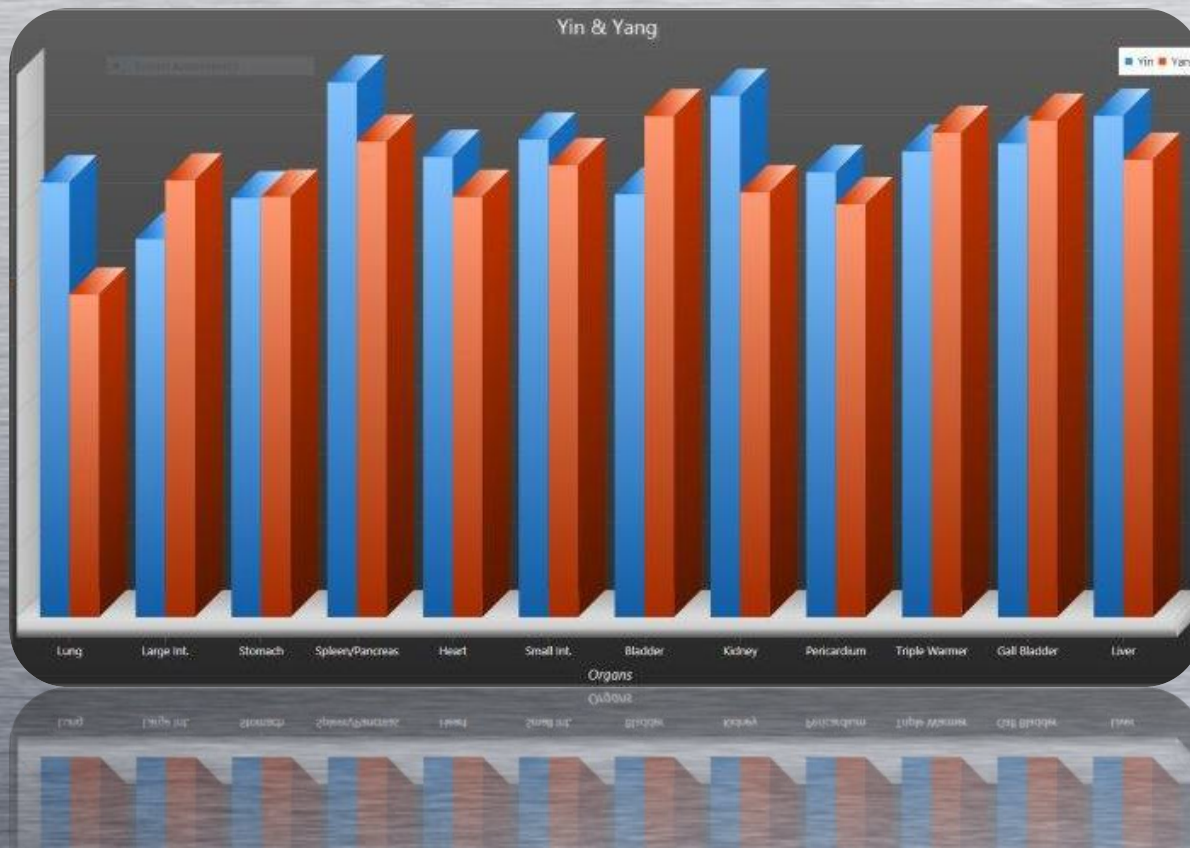
Yuan Qi

- Grafico a ragnatela indicante la distribuzione di energia Yuan Qi di tutti i 12 organi/visceri.



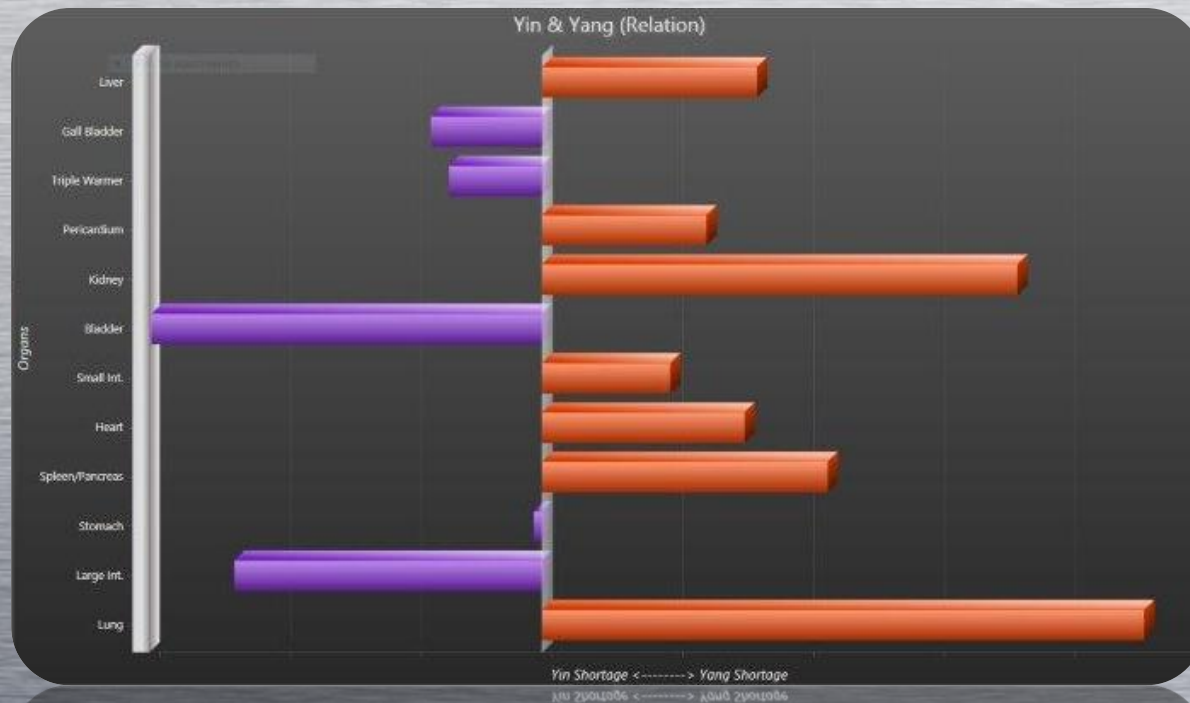
Yin & Yang

- Riassunto dello stato di Yin & Yang nei singoli organi



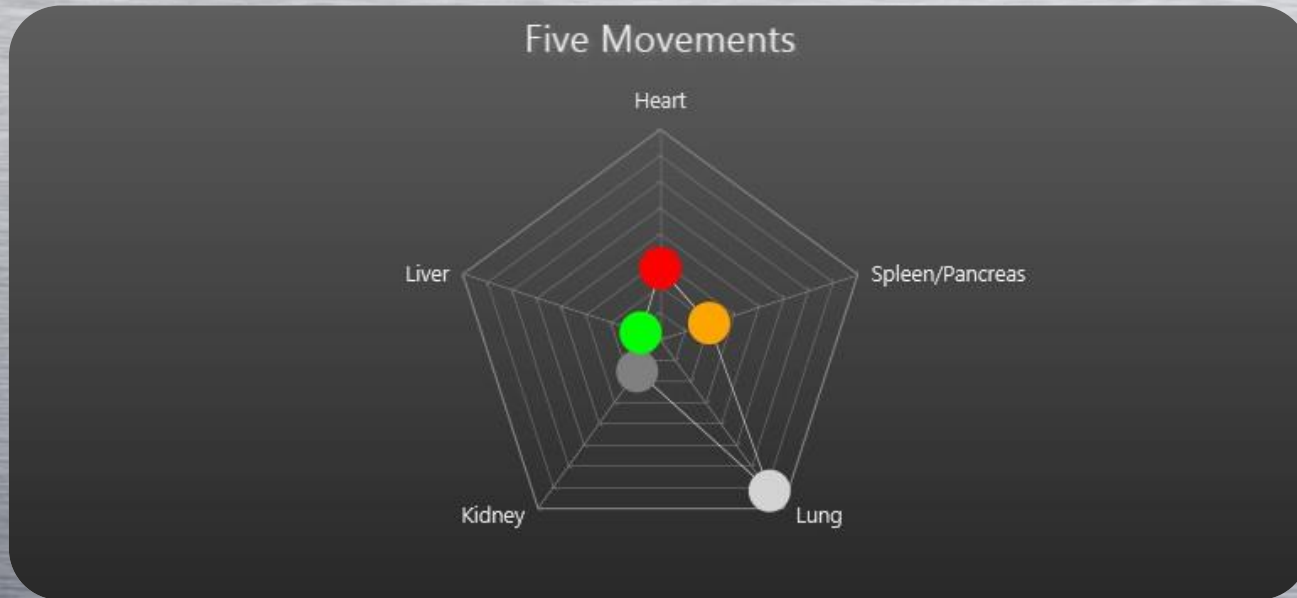
Relazione Yin Yang

- Bilancio relativo dualistico tra energie Yin e Yang nei 12 Meridiani.
- Livelli dominanti per l'energia Yang sono mostrati in rosso mentre in blu, i deficit dell'energia Yin



I 5 Movimenti

- Grafico pentagonale che mostra la relazione tra i cinque organi
- La legge dei 5 movimenti che spiega l'antico concetto del naturale flusso dell'energia negli organi viene ora valutata attraverso sofisticati algoritmi via Web.



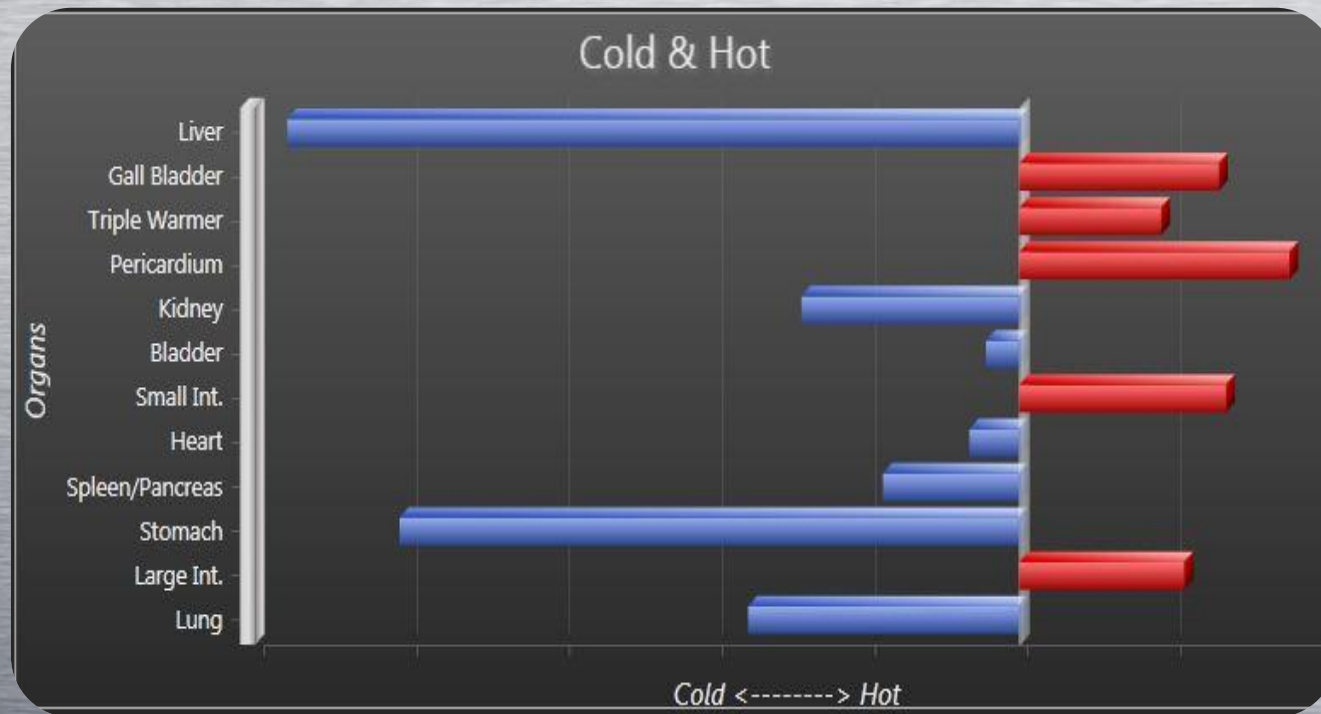
Secchezza & Umidità

- Gli eventi cosmopatogentici influenzano l'attività corporea: la prevalenza dell'umido viene mostrato in verde e la secchezza in arancio. Vengono visualizzati tutti i 12 Meridiani.



Caldo & Freddo

- Gli eventi cosmopatogenici influenzano l'attività corporea: la prevalenza del freddo viene mostrato in blu ed il caldo in rosso. Vengono visualizzati tutti i 12 Meridiani.

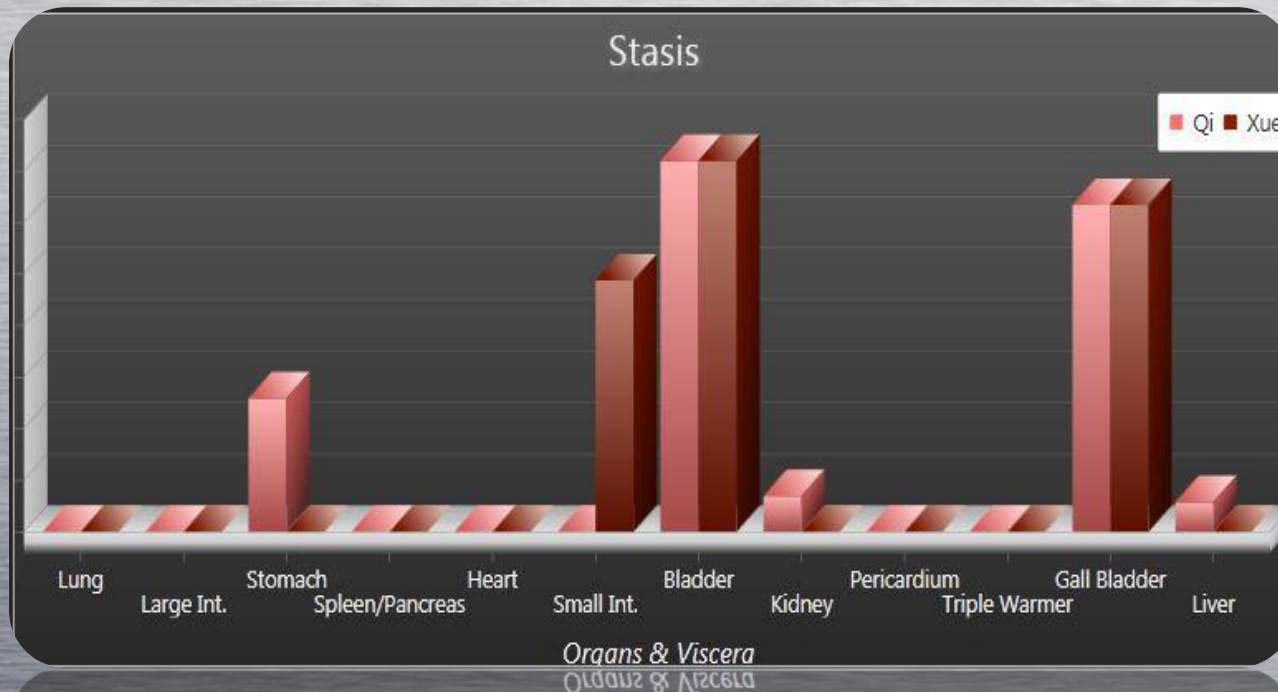


Cold <-----> Hot

Cold <-----> Hot

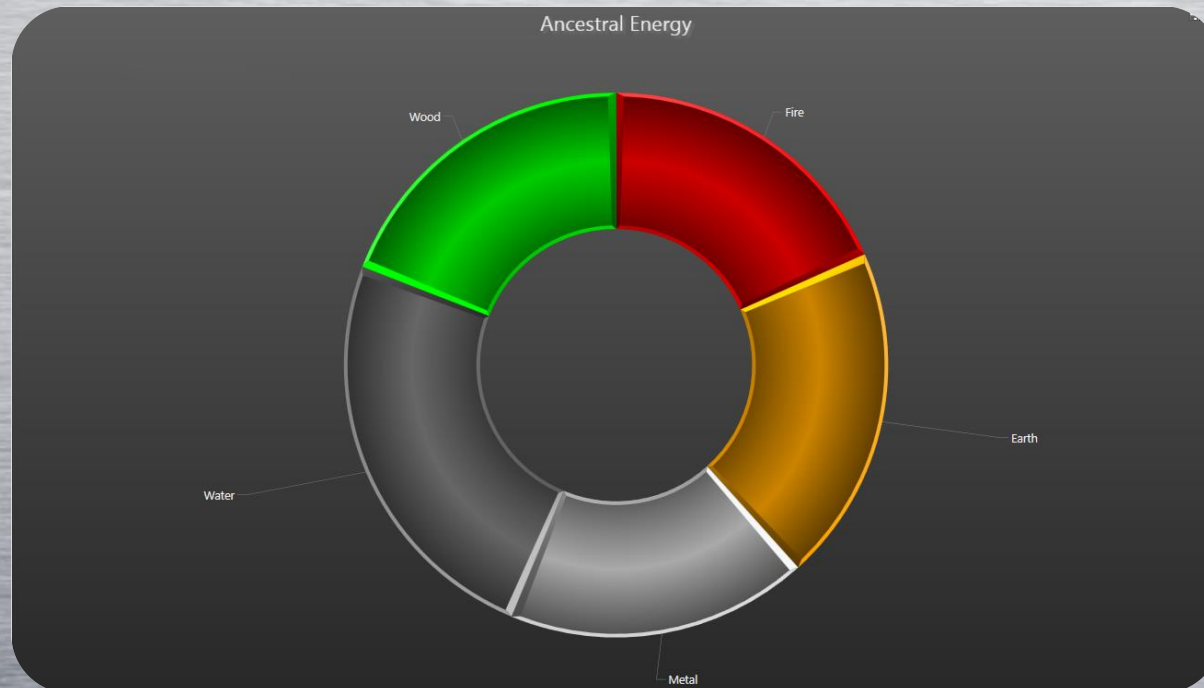
Stasi

- Quando l'energia non fluisce liberamente in organi o visceri, può indurre un quadro di stagnazione che è estremamente importante per prevenire eventuali situazioni patologiche.



Energia Originaria (predisposizione Genetica)

- Basata sulla descrizione dell'antica descrizione della MTC, la torta indica la distribuzione delle cinque energie vitali presenti nel corpo.



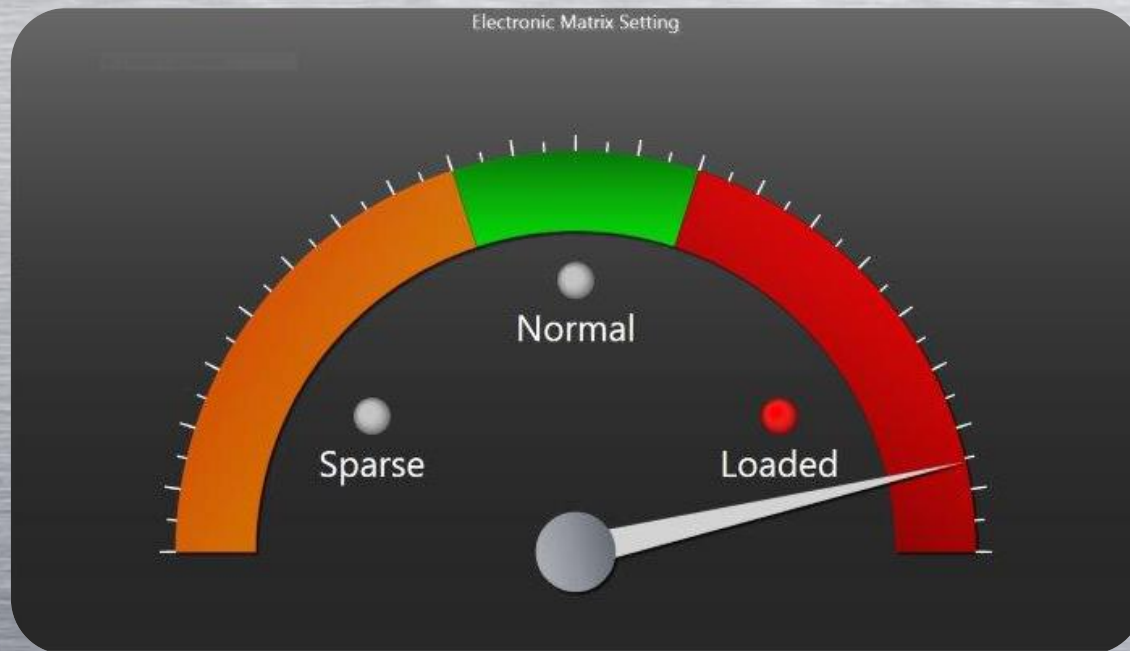
Distribuzione in ampiezza

- Il grafico descrive la distribuzione totale dell'energia per analizzare le anomalie del sistema in relazione agli assiomi della MTC.



Electronic Matrix Setting

- Indicatore del livello di Ioni /Elettroni dispersi nella matrice del tessuto mesenchimale.



Database Pazienti



- Database residente in SQL, dove vengono archiviate tutte le informazioni demografiche, le misure, i dati clinici e dei trattamenti.

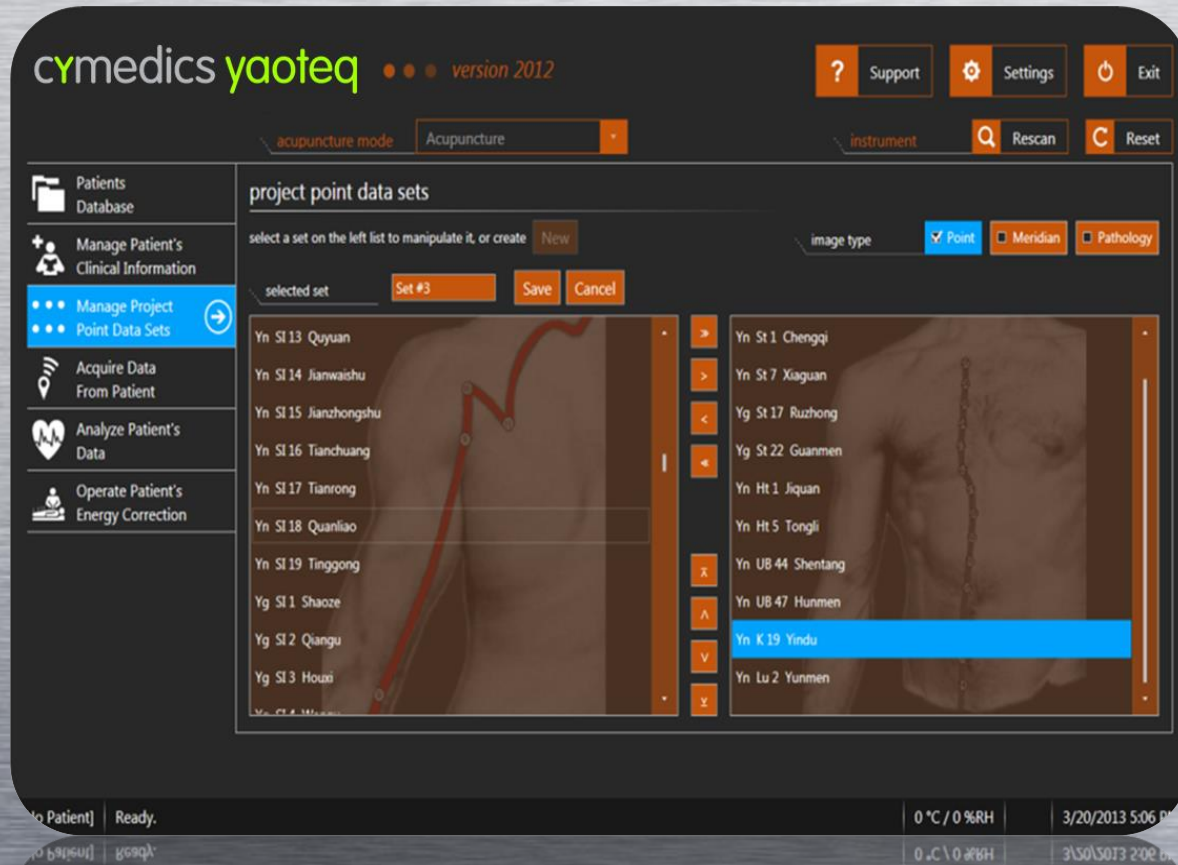
The screenshot displays the 'patients database' interface of the 'cymedics yaoteq' software, version 2012. The interface is dark-themed with orange and blue accents. At the top, there are navigation buttons for 'Support', 'Settings', and 'Exit'. Below these, there are dropdown menus for 'acupuncture mode' (set to 'Acupuncture') and 'instrument', along with 'Rescan' and 'Reset' buttons. A left sidebar contains several menu items: 'Patients Database' (selected), 'Manage Patient's Clinical Information', 'Manage Project Point Data Sets', 'Acquire Data From Patient', 'Analyze Patient's Data', and 'Operate Patient's Energy Correction'. The main area shows a search bar with the text 'patients database' and a 'New' button. Below the search bar is a grid of letters A-Z. A table below the grid lists patient information:

Surname	First Name	Birthdate	Sex
Platz	Sabine	03/04/1966	Female

At the bottom of the screen, there is a status bar showing '[No Patient]', 'status Ready.', and environmental data: 'air 23 °C / 70 %RH' and '27.02.2012'.

Impostazioni Individuali

- Il Medico o l'Operatore possono creare un protocollo personalizzato in funzione di analizzare punti specifici che riflettono la situazione di salute del paziente.

The screenshot displays the 'cymedics yaoteq' software interface, version 2012. The main window is titled 'project point data sets' and shows a configuration screen for a 'Set #3'. The interface includes a sidebar on the left with navigation options like 'Patients Database', 'Manage Patient's Clinical Information', 'Manage Project Point Data Sets', 'Acquire Data From Patient', 'Analyze Patient's Data', and 'Operate Patient's Energy Correction'. The main area shows two columns of acupoints with corresponding anatomical diagrams. The left diagram shows a human torso with a red line indicating a meridian path, and the right diagram shows a human torso with a vertical line indicating a meridian path. The acupoints listed are: Yn SI 13 Qu Yuan, Yn SI 14 Jian Waishu, Yn SI 15 Jian Zhongshu, Yn SI 16 Tian Chuang, Yn SI 17 Tian Rong, Yn SI 18 Quan Liao, Yn SI 19 Ting Gong, Yg SI 1 Shao Ze, Yg SI 2 Qian Gu, Yg SI 3 Hou Xi, Yn St 1 Cheng Ji, Yn St 7 Xiang Guan, Yg St 17 Ru Zhong, Yg St 22 Guan Men, Yn Ht 1 Ji Quan, Yn Ht 5 Tong Li, Yn UB 44 Sheng Tang, Yn UB 47 Hun Men, Yn K 19 Yin Du (highlighted), and Yn Lu 2 Yun Men. The interface also includes a top navigation bar with 'Support', 'Settings', and 'Exit' buttons, and a bottom status bar showing 'No Patient | Ready', '0 °C / 0 %RH', and '3/20/2013 5:06 PM'.

Acquisizione Dati dai Meridiani Yang

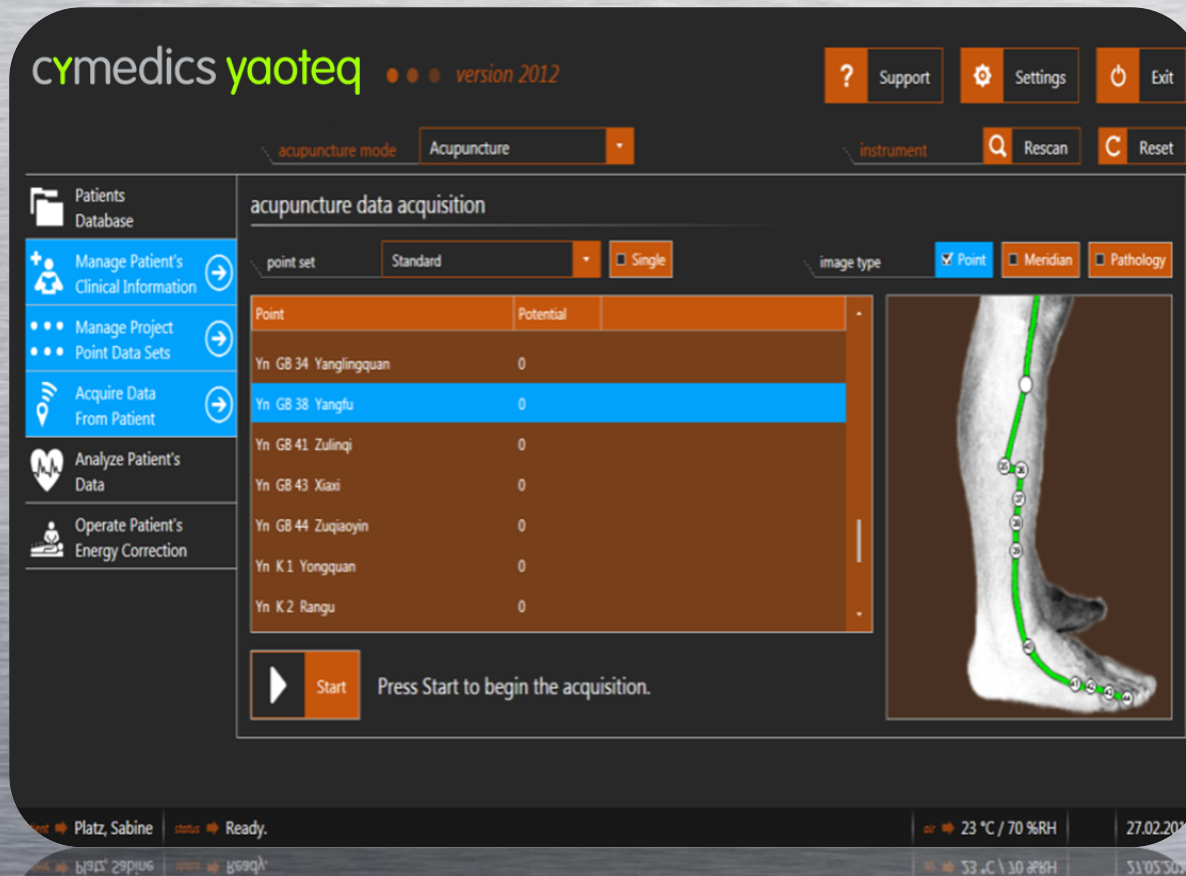


The screenshot shows the 'acupuncture data acquisition' screen of the 'cymedics yaoteq' software, version 2012. The interface is dark-themed with orange and blue accents. At the top, there are buttons for 'Support', 'Settings', and 'Exit'. Below that, a dropdown menu shows 'acupuncture mode' set to 'Acupuncture', and another dropdown shows 'instrument' with 'Rescan' and 'Reset' buttons. On the left, a sidebar contains navigation options: 'Patients Database', 'Manage Patient's Clinical Information', 'Manage Project', 'Point Data Sets', 'Acquire Data From Patient', 'Analyze Patient's Data', and 'Operate Patient's Energy Correction'. The main area is titled 'acupuncture data acquisition' and features a 'point set' dropdown set to 'Standard' and a 'Single' checkbox. Below this is a table with two columns: 'Point' and 'Potential'. The table lists several points with a potential of 0. To the right of the table is an image of a human arm with a white line tracing the meridian path and numbered points 1 through 5. At the bottom of the main area, there is a 'Start' button and the text 'Press Start to begin the acquisition.' The bottom status bar shows 'Platz, Sabine' as the user, 'Ready' as the status, and environmental data: '23 °C / 70 %RH' and the date '27.02.2017'.

Point	Potential
Yg Lu 5 Chize	0
Yg Lu 8 Jingqu	0
Yg Lu 9 Taiyuan	0
Yg Lu 10 Yuji	0
Yg Lu 11 Shaoshang	0
Yg LI 1 Shangyang	0
Yg LI 2 Erjian	0

- Polmone
- Intestino Crasso
- Pericardio
- Triplice Riscaldatore
- Cuore
- Intestino Tenue

Acquisizione Dati dai Meridiani Yin



The screenshot shows the 'acupuncture data acquisition' screen of the 'cymedics yaoteq version 2012' software. The interface includes a top navigation bar with 'Support', 'Settings', and 'Exit' buttons. Below this, there are controls for 'acupuncture mode' (set to 'Acupuncture') and 'instrument' (with 'Rescan' and 'Reset' buttons). A left sidebar contains menu items: 'Patients Database', 'Manage Patient's Clinical Information', 'Manage Project', 'Point Data Sets', 'Acquire Data From Patient' (highlighted), 'Analyze Patient's Data', and 'Operate Patient's Energy Correction'. The main area is titled 'acupuncture data acquisition' and features a 'point set' dropdown (set to 'Standard') and a 'Single' checkbox. Below these is a table of points with their potentials. To the right, there are 'image type' options: 'Point' (checked), 'Meridian', and 'Pathology'. A 3D anatomical model of a human leg and foot shows the meridian path with numbered points. At the bottom, there is a 'Start' button and the instruction 'Press Start to begin the acquisition.' The status bar at the very bottom shows patient information: 'Platz, Sabine', 'status: Ready', '23 °C / 70 %RH', and '27.02.2017'.

Point	Potential
Yn GB 34 Yanglingquan	0
Yn GB 38 Yangfu	0
Yn GB 41 Zulingqi	0
Yn GB 43 Xiashi	0
Yn GB 44 Zuqiaoyin	0
Yn K 1 Yongquan	0
Yn K 2 Rangu	0

- Milza
- Fegato
- Stomaco
- Vescica biliare
- Rene
- Vescica

Analisi Dati Paziente e Trend sulla Terapia



- I dati precedentemente registrati, vengono mostrati con i riferimenti di data e ora e le diverse analisi eseguite sullo stesso paziente, verranno mostrate su un trend temporale.

The screenshot displays the 'cymedics yaoteq' software interface, version 2012. The main window is titled 'acupuncture data analysis'. On the left, there is a sidebar with a 'Patients Database' icon and several menu items: 'Manage Patient's Clinical Information', 'Manage Project', 'Point Data Sets', 'Acquire Data From Patient', 'Analyze Patient's Data', and 'Operate Patient's Energy Correction'. The main area shows a calendar for February 2013 with the 27th highlighted. Below the calendar is a table with columns 'Point' and 'Potential'. The table is currently empty. At the bottom of the interface, there is a status bar showing 'Platz, Sabine' with a 'Ready' status, and environmental data: '23 °C / 70 %RH' and the date '27.02.2013'.

Correzione Energia del Paziente

- Può essere eseguito un trattamento matematicamente perfetto di ogni ago punto con un notevole incremento del livello di qualità ed una riduzione dei tempi di terapia. Ogni ago punto non richiede che pochi istanti per essere precisamente ristabilizzato.

Discreet Fast Fourier
Transformation FFT



Dati Tecnici del Sistema



- Alimentazione 220 V – 50 Hz / 25 W
- Range Frequenza 0,3 – 100 Hz
- Corrente Massima durante trattamento
100 micro Ampere
- Generazione automatica di onde
complesse utilizzando FFT Discreta con
l'ausilio dell'Intelligenza Artificiale



Bibliografia



- **Napadow V, Makris N, Liu J, Kettner N, Kwong K, Hui K**, (2005) Effects of electroacupuncture versus Manual Acupuncture on the Human Brain as Measured by fMRI.
- **Pischinger A** (2004) Das System der Grundregulation – Grundlagen einer ganzheitsbiologischen Medizin. 10. Durchges. Aufl., bearbeitet von Hartmut Heine, Otto Bergsmann und Felix Perger. Haug, Stuttgart
- **Starwynn D**, (2006) Is Microcurrent Therapy Effective for Treatment of Macular Degeneration? Acupuncture Today, May 2006, Vol. 07, Issue 05
- **Matsumoto K, Birch S**, (1988) Hara diagnosis: reflections on the sea. Paradigm, Brookline
- **Morton M A, Dlouhy C** (1989) Energy fields in medicine. John E. Fetzer Foundation, Kalamazoo, MI
- **Oschmann JL, Oschman NH** (1995) Physiological and emotional effects of acupuncture needle insertion. Proceedings of the Second Symposium of the Society for Acupuncture Research, SAR, Boston
- **Reichmanis M, Marino A A, Becker R O** (1975) Electrical correlates of acupuncture points. IEEE Transactions on Biomedical Engineering, 22 (November): 533-535
- **Becker R O** (1990) The machine brain and properties of the mind. Subtle Energies 113:79-97
- **Becker R O** (1991) Evidence for a primitive DC electrical analog system controlling brain function. Subtle Energies 2(1):71-88
- **Fröhlich H** (1968) Bose condensation of strongly excited longitudinal electric modes. Physics Letters 26A:402-403
- **Fröhlich H, ed** (1988) Biological coherence and response to external stimuli. Springer Verlag, Berlin
- **Heidemann SR** (1993) A new twist on integrins and the cytoskeleton. Science 260:1080-1081
- **Ho M-W, Knight DP** 1998 The acupuncture system and the liquid crystalline collagen fibers of the connective tissues. American Journal of Chinese Medicine 26(3-4):1-13
- **Ingber DE** (1993a) The riddle of morphogenesis: a question of solution chemistry or molecular cell engineering? Cell 75:1249-1252
- **Ingber DE** (1993b) Cellular tensegrity: defining new rules of biological design that govern the cytoskeleton. Journal of Cell Science 104:613-627
- **Ingber DE** (1998) The architecture of life. Scientific American 278(1):48-57
- **Oschmann JL** (1994) A biophysical basis for acupuncture. Proceedings of the First Symposium of the Committee for Acupuncture Research, CAR, Boston
- **Oschmann JL** (1996) The nuclear, cytoskeletal, and extracellular matrices: a continuous communication network. Poster presentation for “the cytoskeleton: mechanical, physical and biological interactions”, a workshop sponsored by the Center for Advanced Studies in the Space Life Science at the marine Biological Laboratory, Woods Hole, Massachusetts, November 15-17, 1996
- **Oschman JL, Oschman NH** (1994) Book review and commentary: Biological coherence and response to external stimuli, edited by Herbert Fröhlich, published by Springer Verlag, Berlin, 1988. NORA Press, Dover, NH
- **Pienta KJ, Coffey DS** (1991) Cellular harmonic information transfer through a tissue tensegrity-matrix system. Medical Hypotheses 34:88-95
- **Pugh A** (1976) An introduction to tensegrity. University of California Press, Berkeley
- **Wang JY, Butler JP, Ingber DE** (1993) Mechanotransduction across the cell surface and through the cytoskeleton. Science 260:1124-1127